

ANEXO II: DATOS DE TRÁFICO Y TRAYECTORIAS

1. COMPOSICIÓN DE LA FLOTA. AEROPUERTO DE PALMA. AERONAVES

Tabla AII. 1. Composición de la flota

INDICATIVO OACI	TIPO DE AERONAVES	CÓDIGO INM	%
A124	ANTONOV An-124 Ruslan	AN124	0,0028
A306	AIRBUS A-300B/C/F 4-600	A300	0,1171
A310	AIRBUS A-310	A310	0,0045
A318	AIRBUS A-318	A319	0,0022
A319	AIRBUS A-319	A319	7,9489
A320	AIRBUS A-320	A320	20,3216
A321	AIRBUS A-321	A321	6,0955
A332	AIRBUS A-330-200	A330	0,2911
A333	AIRBUS A-330-300	A330	1,1609
A343	AIRBUS A-340-300	A340	0,0045
A346	AIRBUS A-340-600	A340	0,0006
AC95	GULFSTREAM AEROSPACE 695 Jetprop Commander	CNA441	0,0033
AN12	ANTONOV An-12	C130	0,0033
AN26	ANTONOV An-26	AN26	0,0022
ASTR	IAI 1125 Gulfstream G100	IA1125	0,0078
AT43	AEROSPATIALE ATR-42-200/300/320	ATR42	0,2130
AT5T	AIR TRACTOR AT-502/503	DHC6	0,0011
AT72	AEROSPATIALE ATR-72	ATR72	3,0622
AT8T	AIR TRACTOR AT-802	SD330	0,0095
B190	BEECH 1900	BEC190	0,0056
B350	BEECH 300 (B300) Super King Air 350	BEC300	0,0803
B462	BRITISH AEROSPACE BAe-146-200	BAE146	0,0390
B463	BRITISH AEROSPACE BAe-146-300	BAE300	0,0056
B712	BOEING 717-200	717200	0,0028
B721	BOEING 727-100	727RR1	0,0011
B732	BOEING 737-200	737N17	0,0201
B733	BOEING 737-300	737300	2,4344
B734	BOEING 737-400	737400	0,4399
B735	BOEING 737-500	737500	0,3362
B736	BOEING 737-600	737700	0,0346

INDICATIVO OACI	TIPO DE AERONAVES	CÓDIGO INM	%
B737	BOEING 737-700	737700	2,3168
B738	BOEING 737-800	737700	30,0157
B744	BOEING 747-400 (international winglets)	747400	0,0190
B752	BOEING 757-200	757RR	2,9385
B753	BOEING 757-300	757RR	1,6861
B762	BOEING 767-200	767CF6	0,0078
B763	BOEING 767-300	767300	0,4461
B772	BOEING 777-200	777200	0,0190
BE10	BEECH 100 King Air	BEC100	0,0039
BE20	BEECH 200 Super King Air	BEC200	0,5487
BE30	BEECH 300 Super King Air	BEC300	0,0033
BE36	BEECH 36 Bonanza (piston)	BEC33	0,0011
BE40	BEECH 400 Beechjet	BEC400	0,0680
BE55	BEECH 55 Baron	BEC55	0,0022
BE58	BEECH 58 Baron	BEC58	0,0022
BE9L	BEECH 90 (A/B/C/D/E 90) King Air	BEC90	0,0240
BE9T	BEECH 90 (F90) King Air	BEC9F	0,0011
C150	CESSNA 150	CNA150	0,0006
C172	CESSNA 172	CNA172	0,0011
C182	CESSNA 182	CNA182	0,0022
C208	CESSNA 208	CNA208	0,0056
C210	CESSNA 210	CNA210	0,0017
C25A	CESSNA 525A Citation CJ2	CNA525	0,3390
C25B	CESSNA 525B Citation CJ3	CNA525	0,1617
C25C	CESSNA 525C Citation CJ4	CNA525	0,0134
C337	CESSNA 337 Super Skymaster	CNA337	0,0011
C340	CESSNA 340	CNA340	0,0022
C402	CESSNA 401/402	CNA402	0,0011
C421	CESSNA 421	CNA421	0,0022
C425	CESSNA 425	CNA425	0,0011
C441	CESSNA 441 Conquest	CNA441	0,0011
C500	CESSNA 500 Citation	CNA500	0,0145
C501	CESSNA 501 Citation 1SP	CNA501	0,0240
C510	CESSNA 510 Citation Mustang	CNA500	0,1204

INDICATIVO OACI	TIPO DE AERONAVES	CÓDIGO INM	%
C525	CESSNA 525 Citation CJ1	CNA525	0,2721
C550	CESSNA 550/552 Citation 2/Bravo	CNA55B	0,2420
C551	CESSNA 551 Citation 2SP	CNA551	0,0346
C560	CESSNA 560 Citation 5	CNA560	0,0608
C56X	CESSNA 560XL Citation Excel	CNA55B	0,5247
C650	CESSNA 650 Citation 3/6/7	CIT3	0,0346
C680	CESSNA 680 Citation Sovereign	LEAR35	0,0926
C750	CESSNA 750 Citation 10	CNA750	0,0234
CL2T	CANADAIR CL-215T/415	DHC830	0,0006
CL30	BOMBARDIER BD-100 Challenger 300	CL601	0,0948
CL60	CANADAIR CL-600 Challenger 600/601/604	CL601	0,1282
COL4	LANCAIR LC-41 Columbia 400	CNA172	0,0022
CRJ1	CANADAIR CL-600 Regional Jet CRJ-100	CLREGJ	0,0022
CRJ2	CANADAIR CL-600 Regional Jet CRJ-200/440	CLREGJ	5,9555
CRJ9	CANADAIR CL-600 Regional Jet CRJ-705/900	GV	0,4829
CRJX	CANADAIR CL-600 Regional Jet CRJ-1000 (CL600-2E25)	GV	0,1321
D328	FAIRCHILD DORNIER 328	DO328	0,0480
DA42	DIAMOND DA-42 Twin Star	BEC58P	0,0028
DH8C	DE HAVILLAND CANADA DHC-8-300 Dash 8	DHC830	0,3050
DH8D	DE HAVILLAND CANADA DHC-8-400 Dash 8	DHC830	0,0797
E120	EMBRAER EMB-120 Brasilia	EMB120	1,3109
E135	EMBRAER ERJ-135/140	EMB135	0,0764
E145	EMBRAER EMB-145	EMB145	0,0033
E170	EMBRAER ERJ-170/175	GV	0,0524
E190	EMBRAER 190/195	GV	4,3207
E50P	EMBRAER EMB-500 Phenom 100	CNA55B	0,0279
E55P	EMBRAER EMB-505 Phenom 300	CNA560	0,0078
EA50	ECLIPSE Eclipse 500	CNA55B	0,0268
F100	FOKKER 100	F10065	0,1216
F2TH	DASSAULT Falcon 2000	FAL20A	0,2041
F406	CESSNA F406	DHC6	0,0006
F50	FOKKER 50	FK50	0,0022
F70	FOKKER 70	FK70	0,0022
F900	DASSAULT-BREGUET Mystère 900	F10062	0,1851

INDICATIVO OACI	TIPO DE AERONAVES	CÓDIGO INM	%
FA10	DASSAULT-BREGUET Falcon 10/100	FAL10	0,0173
FA50	DASSAULT-BREGUET Falcon 50	F10062	0,0078
FA7X	DASSAULT Falcon 7X	F10062	0,0134
G150	IAI Gulfstream G150	IA1125	0,0123
GALX	IAI 1126 Gulfstream G200	CL600	0,0569
GL5T	BOMBARDIER BD-700 Global 5000	GV	0,0112
GLEX	BOMBARDIER BD-700 Global Express	GV	0,0836
GLF4	GULFSTREAM AEROSPACE G-4 Gulfstream G300/350/400/450	GIV	0,0569
GLF5	GULFSTREAM AEROSPACE G-5SP Gulfstream G500/550	GV	0,0814
H25B	BRITISH AEROSPACE BAe-125-700/800	IA1125	0,3624
H25C	BRITISH AEROSPACE BAe-125-1000	LEAR35	0,0145
HA4T	RAYTHEON Hawker 4000	CL600	0,0039
IL76	ILYUSHIN II-76/78/82	IL76	0,0022
J328	FAIRCHILD DORNIER 328JET	CL600	0,0669
LJ31	LEARJET 31	LEAR31	0,0134
LJ35	LEARJET 35/36	LEAR35	0,0937
LJ40	LEARJET 40	LEAR35	0,0636
LJ45	LEARJET 45	LEAR45	0,0703
LJ55	LEARJET 55	LEAR55	0,0195
LJ60	LEARJET 60	LEAR60	0,0680
M20T	MOONEY 231/252/M-20K/M	M20K	0,0033
MD11	MCDONNELL DOUGLAS MD-11	MD11GE	0,0006
MD82	MCDONNELL DOUGLAS MD-82	MD82	0,2649
MD83	MCDONNELL DOUGLAS MD-83	MD83	0,5102
MD87	MCDONNELL DOUGLAS MD-87	MD87	0,4951
MU2	MITSUBISHI MU-2	MU2	0,0022
P180	PIAGGIO P-180 Avanti	SD330	0,0446
P28A	PIPER PA-28-140/150/151/160/161/180/181	PA28WA	0,0028
P28R	PIPER PA-28R-180/200/201/201T Cherokee Arrow	PA28CA	0,0022
P46T	PIPER PA-46-500TP Malibu Meridian	PA46	0,0117
PA28	PIPER PA-28-140 Cherokee	PA28CH	0,0006
PA31	PIPER PA-31-300/310/325/350/P350/P425	PA31CH	0,0033

INDICATIVO OACI	TIPO DE AERONAVES	CÓDIGO INM	%
PA32	PIPER PA-32	PA32SG	0,0017
PA34	PIPER PA-34 Seneca	PA34	0,0045
PA44	PIPER PA-44/44T Seminole	PA44	0,0006
PA46	PIPER PA-46-310P Malibu	PA46	0,0072
PAY1	PIPER PA-31T1-500 Cheyenne 1	PA31T	0,0112
PAY2	PIPER PA-31T/T2-620 Cheyenne	PA31T	0,0056
PAY3	PIPER PA-42-720 Cheyenne 3	PA42	0,0256
PAY4	PIPER PA-42-1000 Cheyenne 400	PA42	0,0045
PC12	PILATUS PC-12	GASEPF	0,0992
PRM1	RAYTHEON 390 Premier 1	LEAR35	0,1377
RJ1H	BRITISH AEROSPACE RJ-100	BAE146	0,0992
RJ85	BRITISH AEROSPACE RJ-85	BAE146	0,0279
SB20	SAAB 2000	SAAB20	0,0669
SBR1	NORTH AMERICAN ROCKWELL NA-265 Sabreliner 40/60	SABR60	0,0056
SF34	SAAB 340	SF340	0,0061
SR22	CIRRUS SR-22	GASEPV	0,0072
SW3	FAIRCHILD SWEARINGEN SA-226TB/227TT Merlin 3/Fairchild 300	SA227	0,0156
SW4	FAIRCHILD SA-226/227 Metro/Merlin/Expediter	SA227	0,6178
T154	TUPOLEV Tu-154	TU154	0,0045
T204	TUPOLEV Tu-204/214/224/234	TU204	0,0212
TBM7	SOCATA TBM-700	GASEPF	0,0496
TBM8	SOCATA TBM-850	GASEPF	0,0095
TRIN	SOCATA TB-20/21 Trinidad	CNA206	0,0017

Fuente: PALESTRA 2011

2. FICHERO DE TRÁFICO. AEROPUERTO DE PALMA

Tabla AII. 2. Fichero de tráfico.

AERONAVE INM	ATERORIZAJES			DESPEGUES		
	DÍA	TARDE	NOCHE	DÍA	TARDE	NOCHE
717200	0,0055	0,0000	0,0000	0,0083	0,0000	0,0000
737300	4,5463	1,1945	0,2669	4,1364	1,4394	0,4321
737400	0,7376	0,1899	0,1542	0,7515	0,1624	0,1763
737500	0,6055	0,1981	0,0303	0,5834	0,1376	0,1046
737700	57,5975	17,6047	4,7389	54,0500	22,1897	3,5722
747400	0,0468	0,0000	0,0000	0,0083	0,0386	0,0000
767300	0,8669	0,1239	0,1129	0,7540	0,1735	0,1707
777200	0,0468	0,0000	0,0000	0,0468	0,0000	0,0000
727RR1	0,0000	0,0000	0,0028	0,0000	0,0028	0,0000
737N17	0,0440	0,0055	0,0000	0,0468	0,0028	0,0000
757RR	9,1560	1,4861	0,7815	8,8121	1,7613	0,8285
767CF6	0,0193	0,0000	0,0000	0,0193	0,0000	0,0000
A300	0,2533	0,0276	0,0055	0,2065	0,0743	0,0110
A310	0,0083	0,0000	0,0028	0,0083	0,0000	0,0028
A319	14,9629	3,4951	1,2329	14,0657	2,5017	2,9860
A320	39,6679	8,1708	2,2951	34,7252	13,2071	2,2346
A321	10,4577	3,0272	1,5741	9,2385	4,9868	0,8009
A330	2,2704	1,0953	0,2286	2,2567	1,0045	0,3111
A340	0,0055	0,0028	0,0055	0,0083	0,0000	0,0028
AN124	0,0055	0,0028	0,0000	0,0028	0,0028	0,0000
AN26	0,0056	0,0000	0,0000	0,0055	0,0000	0,0000
ATR42	0,2258	0,0193	0,2807	0,0964	0,2009	0,2284
ATR72	4,1088	1,9843	1,4861	4,1117	2,2127	1,2111
BAE146	0,3468	0,0440	0,0193	0,3055	0,0854	0,0193
BAE300	0,0111	0,0028	0,0000	0,0110	0,0028	0,0000
BEC100	0,0083	0,0000	0,0000	0,0111	0,0000	0,0000
BEC190	0,0138	0,0000	0,0000	0,0111	0,0028	0,0000
BEC200	0,9963	0,1679	0,1927	1,0101	0,2037	0,1378
BEC300	0,1982	0,0028	0,0028	0,2009	0,0055	0,0028
BEC33	0,0028	0,0000	0,0000	0,0028	0,0000	0,0000

AERONAVE INM	ATERRIJAJES			DESPEGUES		
	DÍA	TARDE	NOCHE	DÍA	TARDE	NOCHE
BEC400	0,1405	0,0249	0,0028	0,1487	0,0083	0,0111
BEC55	0,0028	0,0028	0,0000	0,0056	0,0000	0,0000
BEC58	0,0028	0,0028	0,0000	0,0028	0,0028	0,0000
BEC58P	0,0056	0,0000	0,0000	0,0083	0,0000	0,0000
BEC90	0,0495	0,0083	0,0000	0,0606	0,0000	0,0000
BEC9F	0,0000	0,0028	0,0000	0,0028	0,0000	0,0000
C130	0,0083	0,0000	0,0000	0,0056	0,0028	0,0000
CIT3	0,0717	0,0138	0,0000	0,0771	0,0056	0,0028
CL600	0,2698	0,0303	0,0111	0,2643	0,0496	0,0056
CL601	0,3825	0,1129	0,0578	0,4763	0,0331	0,0387
CLREGJ	11,4072	2,9034	0,3992	10,6585	3,8585	0,1789
CNA150	0,0000	0,0000	0,0000	0,0028	0,0000	0,0000
CNA172	0,0056	0,0028	0,0000	0,0084	0,0000	0,0000
CNA182	0,0056	0,0000	0,0000	0,0056	0,0000	0,0000
CNA206	0,0028	0,0000	0,0000	0,0056	0,0000	0,0000
CNA208	0,0138	0,0000	0,0000	0,0110	0,0000	0,0028
CNA210	0,0028	0,0000	0,0028	0,0028	0,0000	0,0000
CNA337	0,0028	0,0000	0,0000	0,0028	0,0000	0,0000
CNA340	0,0055	0,0000	0,0000	0,0055	0,0000	0,0000
CNA402	0,0028	0,0000	0,0000	0,0028	0,0000	0,0000
CNA421	0,0028	0,0000	0,0028	0,0028	0,0028	0,0000
CNA425	0,0028	0,0000	0,0000	0,0028	0,0000	0,0000
CNA441	0,0110	0,0000	0,0000	0,0110	0,0000	0,0000
CNA500	0,2423	0,0770	0,0138	0,2917	0,0221	0,0193
CNA501	0,0386	0,0111	0,0111	0,0275	0,0138	0,0167
CNA525	1,4861	0,3908	0,0633	1,7256	0,1624	0,0525
CNA551	0,0524	0,0166	0,0166	0,0386	0,0166	0,0303
CNA55B	1,6512	0,3165	0,0633	1,8108	0,1900	0,0222
CNA560	0,1321	0,0276	0,0111	0,1350	0,0276	0,0056
CNA750	0,0551	0,0028	0,0000	0,0551	0,0028	0,0000
DHC6	0,0028	0,0028	0,0000	0,0028	0,0000	0,0000
DHC830	0,7761	0,1761	0,0000	0,7183	0,2313	0,0000
DO328	0,1184	0,0000	0,0000	0,1183	0,0000	0,0000


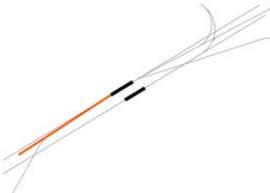
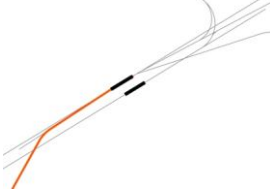

AERONAVE INM	ATERORIZAJES			DESPEGUES		
	DÍA	TARDE	NOCHE	DÍA	TARDE	NOCHE
EMB120	1,0402	0,6550	1,5522	0,2395	1,0623	1,9210
EMB135	0,1294	0,0440	0,0138	0,1624	0,0221	0,0055
EMB145	0,0083	0,0000	0,0000	0,0084	0,0000	0,0000
F10062	0,3468	0,1349	0,0276	0,4487	0,0525	0,0083
F10065	0,2780	0,0056	0,0165	0,2891	0,0083	0,0028
FAL10	0,0358	0,0055	0,0028	0,0332	0,0028	0,0056
FAL20A	0,3880	0,0936	0,0248	0,4377	0,0551	0,0083
FK50	0,0028	0,0028	0,0000	0,0056	0,0000	0,0000
FK70	0,0028	0,0028	0,0000	0,0028	0,0028	0,0000
GASEPF	0,2890	0,0964	0,0056	0,3551	0,0248	0,0111
GASEPV	0,0055	0,0110	0,0028	0,0166	0,0000	0,0000
GIV	0,1129	0,0221	0,0055	0,1239	0,0084	0,0083
GV	8,7239	3,3135	0,7100	9,6898	2,5870	0,4652
IA1125	0,7293	0,1624	0,0468	0,8421	0,0881	0,0193
IL76	0,0028	0,0028	0,0000	0,0000	0,0055	0,0000
LEAR31	0,0276	0,0055	0,0000	0,0275	0,0028	0,0028
LEAR35	0,8312	0,1459	0,0166	0,8588	0,1101	0,0222
LEAR45	0,1486	0,0248	0,0000	0,1542	0,0165	0,0028
LEAR55	0,0468	0,0000	0,0028	0,0441	0,0000	0,0028
LEAR60	0,1349	0,0220	0,0110	0,1460	0,0166	0,0055
M20K	0,0028	0,0028	0,0028	0,0084	0,0000	0,0000
MD11GE	0,0000	0,0000	0,0028	0,0000	0,0000	0,0000
MD82	0,4458	0,1734	0,0358	0,4762	0,1376	0,0387
MD83	0,6688	0,3771	0,2147	0,9166	0,2725	0,0689
MD87	0,8724	0,3028	0,0469	0,9082	0,2972	0,0166
MU2	0,0000	0,0028	0,0028	0,0056	0,0000	0,0000
PA28CA	0,0083	0,0000	0,0000	0,0028	0,0000	0,0000
PA28CH	0,0000	0,0000	0,0000	0,0028	0,0000	0,0000
PA28WA	0,0028	0,0056	0,0000	0,0056	0,0000	0,0000
PA31CH	0,0083	0,0000	0,0000	0,0083	0,0000	0,0000
PA31T	0,0386	0,0000	0,0028	0,0359	0,0000	0,0055
PA32SG	0,0000	0,0055	0,0000	0,0028	0,0000	0,0000
PA34	0,0083	0,0028	0,0000	0,0083	0,0000	0,0028

AERONAVE INM	ATERRIZAJES			DESPEGUES		
	DÍA	TARDE	NOCHE	DÍA	TARDE	NOCHE
PA42	0,0716	0,0028	0,0000	0,0743	0,0000	0,0000
PA44	0,0000	0,0000	0,0000	0,0028	0,0000	0,0000
PA46	0,0386	0,0083	0,0000	0,0441	0,0000	0,0028
SA227	0,3853	0,0523	1,1532	0,1844	0,7540	0,5972
SAAB20	0,1651	0,0000	0,0000	0,1624	0,0028	0,0000
SABR60	0,0111	0,0028	0,0000	0,0111	0,0028	0,0000
SD330	0,1184	0,0165	0,0056	0,1075	0,0166	0,0028
SF340	0,0055	0,0000	0,0110	0,0000	0,0138	0,0000
TU154	0,0111	0,0000	0,0000	0,0111	0,0000	0,0000
TU204	0,0495	0,0028	0,0000	0,0496	0,0028	0,0000
Total	180,3722	48,6804	17,9865	169,1075	60,5950	16,8463

Fuente: Elaboración propia

3. RÉGIMEN DE UTILIZACIÓN DE PISTAS Y TRAYECTORIAS



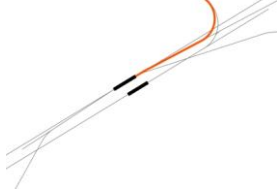
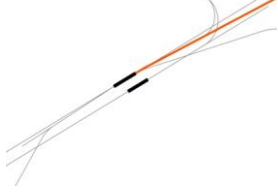
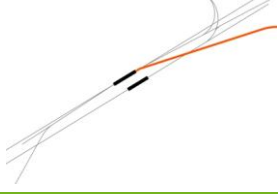

Tabla AII. 3. Características operativas de los corredores. Configuración Oeste




CORREDOR SIMULADO	PERIODO OPERATIVO	PISTA	PROCEDIMIENTO AIP	
LLEGADAS NORMALIZADA (STAR)				
1		Día y noche	24L/24R	GATOS2P / IZA1P / KENAS1P LORES1P / LUNIK1P / MEBUT1P MORSS1P / OSGAL1P ROXOT1P / TOLSO1P
SALIDAS NORMALIZADA POR INSTRUMENTOS (SID)				
S-CV		Día y noche	24R	BRUNO1A / DRAGO1A ESPOR1A / GALAT1A / IZA1A / TURIA1A
S1-CV		Día y noche	24R	ISTER2A / MEBUT2A / MHN2A MEROS2A / MORSS2A OSGAL2A
S-CV		Día y noche	24L	BRUNO1A / DRAGO1A ESPOR1A / GALAT1A / IZA1A ISTER1G / MEBUT1G / MHN1G MEROS1G / MORSS1G OSGAL1G / TURIA1A

NOTA: En la nomenclatura del corredor, las iniciales “CV” se corresponden con procedimientos convencionales y las letras “RV” con procedimientos de navegación de área, más concretamente de precisión P-RNAV

Fuente: Elaboración propia

Tabla AII. 4. Características operativas de los corredores. Configuración Este

CORREDOR SIMULADO	PERIODO OPERATIVO	PISTA	PROCEDIMIENTO AIP	
LLEGADAS NORMALIZADA (STAR)				
1		Día y noche	06L/06R	GATOS2M / IZA1M / KENAS2M LORES2M / LUNIK2M / MEBUT1M / MORSS2M OSGAL1M / RIXOT2M / TOLSO2M
SALIDAS NORMALIZADA POR INSTRUMENTOS (SID)				
E-CV		Día y noche	06L	DRAGO2L / ESPOR2L / GALAT2L / TURIA2L
E-PR		Día y noche	06L	BRUNO2S / DRAGO2N ESPOR2N / GALAT2N / TURIA2N
N-CV		Día y noche	06L	ISTER1L / MEROS1L / MHN1L MORSS1L
W-CV		Día y noche	06L	BRUNO1G / IZA1L / MEBUT1L OSGAL1L
E-CV		Día y noche	06R	DRAGO2B / ESPOR2B / GALAT2B / TURIA2B

CORREDOR SIMULADO	PERIODO OPERATIVO	PISTA	PROCEDIMIENTO AIP
E-PR 	Día y noche	06R	BRUNO2T / DRAGO2R ESPOR2R / GALAT2R / TURIA2R
N-CV 	Día y noche	06R	ISTER2B / MEROS4B / MHN4B MORSS2E
W-CV 	Día y noche	06R	BRUNO1B / IZA1B / MEBUT1B OSGAL1B

NOTA: En la nomenclatura del corredor, las iniciales “CV” se corresponden con procedimientos convencionales y las letras “RV” con procedimientos de navegación de área, más concretamente de precisión P-RNAV

Fuente: *Elaboración propia*

Tabla AII. 5. Porcentaje de empleo de corredores. Llegadas.

CONFIGURACIÓN	PISTA	CORREDOR	%D	%T	%N	%TOTAL POR CONFIGURACIÓN
Este	06L	1	75,68%	17,86%	6,45%	94,89%
	06R	1	72,96%	13,48%	13,56%	5,11%
Oeste	24L	1	71,35%	21,19%	7,46%	95,00%
	24R	1	81,05%	10,77%	8,19%	5,00%

Fuente: Elaboración propia

Tabla AII. 6. Porcentaje de empleo de corredores. Salidas.

CONFIGURACIÓN	PISTA	CORREDOR	%D	%T	%N	%TOTAL POR CONFIGURACIÓN
Este	06L	E-CV	66,06%	0,00%	33,94%	0,39%
		E-PR	90,27%	0,35%	9,38%	2,97%
		N-CV	88,80%	4,71%	6,49%	1,78%
		W-CV	96,09%	0,00%	3,91%	0,54%
	06R	E-CV	50,04%	26,58%	23,37%	7,16%
		E-PR	72,59%	18,21%	9,20%	40,50%
		N-CV	64,22%	30,14%	5,64%	41,57%
		W-CV	70,10%	18,81%	11,08%	5,09%
Oeste	24L	S-CV	48,21%	0,00%	51,79%	0,14%
	24R	S-CV	72,16%	20,75%	7,09%	56,84%
		S1-CV	64,28%	31,60%	4,13%	43,02%

Fuente: Elaboración propia